



ความกว้างเฉลี่ยในแนวไกล์แก้มถึงไกล์ลิ้นของ สันกระดูกขากรรไกรว่างในขากรรไกรบนและล่าง ของประชากรไทยกลุ่มหนึ่ง

ภาณุรุจ อากิลาร์^๑

วุฒิธิชา เนียมตะวัน^๑

อรพินท์ แก้วบลัง ท.บ., Ph.D (Maxillofacial Prosthodontics)^๒

^๑ นิสิตคณะทันตแพทยศาสตร์ จุฬาลงกรณ์มหาวิทยาลัย

^๒ ภาควิชาทันตกรรมประดิษฐ์ คณะทันตแพทยศาสตร์ จุฬาลงกรณ์มหาวิทยาลัยระหว่างปี พ.ศ. ๒๕๓๖-๔๐ จำนวน ๑๑๓ คู่ เป็นชาย ๔๕ คน หญิง ๖๘ คน มีอายุเฉลี่ย ๔๒.๙๘ ปี มาวัดโดยใช้ sliding caliper จากระดับจุดสูงสุดของสันเหنجอกลงมาทางปลายรากฟันเป็นระยะ ๓, ๕ และ ๗ มิลลิเมตร ตามลำดับ ในแต่ละตำแหน่งทำการวัด ๒ ครั้งโดยผู้ทำการศึกษาคนละครั้งซึ่งแต่ละครั้งวัด ๓ จุด คือจุดที่คาดว่า เป็นกึ่งกลางของฟันที่หายไปกับระยะหน้าและหลังต่อจุดนี้ ๒ มิลลิเมตรหาค่าเฉลี่ยความกว้างเฉลี่ยของเนื้อเยื่ออ่อนที่ปักคลุมในแต่ละบริเวณซึ่งตัดแปลงมาจากการงานที่มีการศึกษา ก่อนหน้านี้ พบร่วมกันว่าความกว้างเฉลี่ยของสันกระดูกขากรรไกรว่างที่ระดับ ๓, ๕ และ ๗ มิลลิเมตรในแต่ละบริเวณมีค่าดังนี้ ฟันหน้าบนมีค่า 5.05 ± 1.35 , 5.92 ± 1.45 และ 6.76 ± 1.51 มิลลิเมตร ฟันหลังบนมีค่า 7.30 ± 2.27 , 8.80 ± 2.40 และ 10.03 ± 2.42 มิลลิเมตร ฟันหลังบนซ้ายมีค่า 6.98 ± 1.93 , 8.10 ± 2.24 และ 8.68 ± 2.48 มิลลิเมตร ฟันหน้าล่างมีค่า 4.54 ± 1.46 , 5.70 ± 0.70 และ 5.97 ± 0.19 มิลลิเมตร ฟันหลังล่างขวา มีค่า 7.10 ± 1.87 , 8.01 ± 1.78 และ 8.76 ± 1.61 มิลลิเมตรและฟันหลังล่างซ้ายมีค่า 6.45 ± 1.66 , 7.32 ± 1.68 และ 8.18 ± 1.77 มิลลิเมตร ตามลำดับ เมื่อนำข้อมูลมาวิเคราะห์ทางสถิติโดยใช้ two-way ANOVA พบร่วมกันว่าไม่มีความแตกต่างมีนัยสำคัญ ($p < 0.05$) ของความกว้างเฉลี่ยสันกระดูกขากรรไกรว่างที่บริเวณเดียวกันระหว่างเพศและอายุ

(๑ ทันต อุปฯ ๒๕๔๗:๒๗:๖๙-๘๕)

คำสำคัญ : ความกว้างเฉลี่ยในแนวไกล์แก้ม-ไกล์ลิ้น สันกระดูกว่าง กลุ่มประชากรไทย

บทนำ

การบูรณะทางทันตกรรมประดิษฐ์ในบริเวณที่มีการสูญเสียฟันเพื่อให้ได้หน้าที่และความสวยงามกลับคืนมาอีกนั้นทันตแพทย์มีความจำเป็นต้องพิจารณาถึงสภาพและขนาดของสันเหงือกที่เหลืออยู่ เช่น ในงานฟันปลอมบางส่วนถอดได้ หรือ งานทันตกรรมรากเทียม นั้น ขนาดซี่ฟันปลอมที่ใช้จะต้องมีความกว้างในแนวไอล์กัมถึงไอล์กัมที่เหมาะสม หรือ ขนาดเส้นผ่านศูนย์กลางของรากเทียมควรมีความเหมาะสมกับความกว้างของสันกระดูกขากรรไกรว่างที่เหลืออยู่อันจะส่งผลต่อการใช้งาน การเข้ากันได้กับโครงสร้างอื่น ๆ ที่เหลือในช่องปาก การรับและกระจายแรงบดเคี้ยวตลอดจนความสวยงามของชิ้นงาน

ขนาดความกว้างที่เหลืออยู่ของสันเหงือกนั้นขึ้นกับระยะเวลาที่มีการสูญเสียซี่ฟันไปแล้วยังเกี่ยวข้องกับปัจจัยอื่น ๆ อีก ได้แก่ ลักษณะการออกแบบฟันปลอม ระยะเวลาในการใส่ฟันปลอม การสูญเสียของเนื้อเยื่อบริทันต์ การผ่าตัดที่มีการเผยแพร่ของกระดูก หรือโรคต่าง ๆ ที่ส่งผลให้เกิดการละลายตัวของสันกระดูกขากรรไกรว่างเพิ่มขึ้น เช่น โรคกระดูกพรุน โรคปริทันต์อักเสบต่าง ๆ เป็นต้น¹

การศึกษาเกี่ยวกับความกว้างเฉลี่ยและขนาดของสันกระดูกขากรรไกรว่างที่เหลืออยู่นั้นโดยมากจะเกี่ยวข้องกับการหาความกว้างของสันกระดูกขากรรไกรว่างที่เหมาะสมในการฟังรากเทียม มีรายงานว่ากระดูกที่จะทำการฟังรากเทียมนั้นควรมีความกว้างของกระดูกรอบ ๆ รากเทียมอย่างน้อย 1 ถึง 2 มิลลิเมตร ต่อมามีผู้เสนอว่ากระดูกที่จะทำการฟังรากเทียมนั้นควรมีขนาดความกว้าง 4.5 มิลลิเมตรเป็นอย่างน้อย^{3,4} อย่างไรก็ตามยังไม่พบว่ามีการศึกษาเกี่ยวกับความกว้างของสันกระดูกขากรรไกรว่างในกลุ่มประชากรเอเชีย โดยเฉพาะในประเทศไทย

การวัดความกว้างของสันกระดูกขากรรไกรที่นิยมปฏิบัติกันนั้นจะกระทำในผู้ป่วยโดยตรง โดยการใช้ดิยาชาแล้วใช้บอยเลอร์-เกจเวอร์เนีย (Boyley guage verneer) หรือ เครื่องมือตรวจปริทันต์ (periodontal probe) ที่มีความแหลมคมแทงผ่านเนื้อเยื่ออ่อน (soft tissue) ที่ปอกคลุนทั้ง 2 ด้านของสันเหงือกให้มีจำนวนเพียงพอที่จะสามารถประเมินรูปร่างของกระดูกโดยประมาณได้ หรือใช้ภาพถ่ายรังสีในแนวภาคตัดขวางซึ่งประเมินความกว้างของกระดูกที่เหลืออยู่ อย่างไรก็ตามการศึกษาในครั้งนี้

ต้องการเก็บข้อมูลเพื่อคุณวินัยของความกว้างของสันกระดูกขากรรไกรว่างในกลุ่มประชากรไทยเมื่อเปรียบเทียบกับของกลุ่มอื่น หรือเมื่อเปรียบเทียบด้วยการศึกษาวิธีอื่น เพื่อเป็นข้อมูลพื้นฐานสำหรับการศึกษาขั้นต่อไป โดยเก็บข้อมูลเพื่อหาความกว้างเฉลี่ยของสันกระดูกขากรรไกรว่างและดูความสัมพันธ์กับปัจจัยทางด้านอายุหรือเพศซึ่งมีตัวแปรอิสระ คือ ความกว้างเฉลี่ยของสันกระดูกขากรรไกรว่างในบริเวณที่มีการสูญเสียฟัน และตัวแปรตาม คือ อายุ เพศ และบริเวณต่าง ๆ ของสันกระดูกขากรรไกรว่าง โดยทดลองให้ว่าสันกระดูกขากรรไกรว่าง หมายถึง สันกระดูกขากรรไกร ณ บริเวณที่มีการสูญเสียฟันไปโดยไม่มีการใส่ฟันปลอมชนิดติดแน่นหรือมีการฟังรากเทียมอยู่ ประกอบด้วย สันกระดูกขากรรไกรว่างบริเวณฟันหน้าบัน พันหลังบันทั้งซ้าย และขวา พันหน้าล่าง และพันหลังล่างทั้งซ้ายและขวา รวมทั้งสัน 6 บริเวณ สำหรับกลุ่มตัวอย่างนั้นเป็นขั้นหลักอินิจิฉัยของผู้ป่วยที่เข้ามาทำการติดต่อเพื่อมารับการรักษาภัณฑ์วิชาทันตกรรม-ประดิษฐ์ คณะทันตแพทยศาสตร์ จุฬาลงกรณ์มหาวิทยาลัย ในช่วงปี พ.ศ. 2536-2540 การวัดความกว้างของสันกระดูกขากรรไกรว่างนั้นทำการวัด 2 ครั้งโดยผู้ทำการทดลองคนละครั้ง โดยใช้เครื่องมือวัดที่เป็นชนิดแร่รุ่นเดียวกันคนละคนนึงซึ่ง มีการวิจัยนำร่องและพบว่าไม่มีความแตกต่างอย่างมีนัยสำคัญระหว่างผู้ทำการทดลองและในผู้ทำการทดลองเดียวกัน (inter and intra observer calibration)

ขั้นตอนในการบูรณะทางทันตกรรมประดิษฐ์ที่ได้กล่าวมาข้างต้นไม่ว่าจะเป็นซี่ฟันปลอมหรือรากเทียมนั้นส่วนมากนำเข้าจากต่างประเทศ ซึ่งผลิตขึ้นมาโดยอาศัยข้อมูลจากประชากรในประเทศของผู้ผลิตเป็นพื้นฐาน โดยอาจมีขนาดเหมาะสมหรือไม่เหมาะสมกับประชากรไทย จึงต้องทำการทำการศึกษานี้เพื่อให้ทราบถึงค่าความกว้างเฉลี่ยของสันกระดูกขากรรไกรว่างในแนวไอล์กัมถึงไอล์กัมภายนอก การสัมพันธ์ของความกว้างของสันกระดูกในกลุ่มประชากรไทย กลุ่มนี้ ตลอดจนพิจารณาถึงความสัมพันธ์ของการละลายตัวของกระดูกขากรรไกรว่างกับปัจจัยทางด้านเพศ และอายุ เพื่อเป็นข้อมูลพื้นฐานสำหรับการศึกษาขั้นต่อไป หรือเป็นข้อมูลช่วยในการพิจารณาสำหรับการผลิตซี่ฟันปลอม หรือรากเทียมให้มีขนาดที่เหมาะสม มีความสอดคล้องกับเพศในช่วงอายุต่าง ๆ ให้กับประชากรไทย

วรรณกรรมปริทัศน์

เมื่อมีการสูญเสียฟันไปถือว่าเป็นการทำให้เกิดบาดแผลแก่โครงสร้างของกระดูกเนื้าฟัน หรือส่วนยื่นเน้าฟัน (alveolar process) ซึ่งเป็นส่วนหนึ่งในขารรไกรบันและล่างอันเป็นที่อยู่ของรากฟัน กระดูกจะมีการซ่อมแซมโครงสร้างขึ้นมาใหม่โดยกระบวนการหายของแผล อย่างไรก็ตามภายหลังจากที่มีการสูญเสียรากฟันไปสันกระดูกอาจร้ากว่าจะเกิดการฟื้นตัวของกระดูกนี้องจากไม่ได้มีการใช้งานในการรองรับแรงบดเดียวผ่านลงไปยังฟันแต่แรงจะกระทำต่อสันกระดูกหากร้ากว่าจะโดยตรงทำให้เกิดการละลายของกระดูก⁵ ซึ่งเป็นขั้นตอนการที่ต้องเนื่องധุวนาน และไม่สามารถรักษาได้ การละลายของสันกระดูก หากร้ากว่าจะนี้จะแตกต่างกันไปในแต่ละบุคคลและระยะเวลาที่นับจากการสูญเสียฟัน^{7,8} นอกจากนี้รูปแบบการละลายยังแตกต่างกันตามบริเวณต่างๆ ของสันกระดูกหากร้ากว่าจะอีกด้วย จากการศึกษาของ Tallgren⁹ พบว่าภายในปีแรกหลังจากที่มีการสูญเสียรากฟัน ความสูงของสันกระดูกอาจร้ากว่าจะในขารรไกรบันจะลดลง 2 ถึง 3 มิลลิเมตรในแนวตั้งและในขารรไกรล่างจะลดลง 4 ถึง 5 มิลลิเมตรในแนวเดียวกันหลังจากนั้นจะมีการละลายตัวของสันกระดูกหากร้ากว่าจะอย่างช้าๆ และต่อเนื่อง โดยมีอัตราส่วนในการละลายของสันกระดูกหากร้ากว่าจะในขารรไกรล่างต่อขารรไกรบันเป็น 4 ต่อ 1 และจะคงลักษณะการละลายแบบนี้ต่อไปอีกหลายปี

ปัจจัยที่มีอิทธิพลต่อการส่งเสริมให้มีการละลายตัวของสันเหือกแบ่งเป็น 3 กลุ่มใหญ่ได้แก่ ปัจจัยทางด้านกลศาสตร์ ปัจจัยทางชีววิทยา และปัจจัยทางกายวิภาคศาสตร์¹⁰ ปัจจัยทางด้านกลศาสตร์ ได้แก่ การออกแบบลักษณะฟันปลอมที่ไม่ถูกต้องการใส่ฟันปลอมขณะหลับ การอนกัดฟัน เป็นต้น ส่วนปัจจัยทางด้านชีววิทยาได้แก่ อายุ โดยพบว่าหลังจากอายุ 40 ปี ความหนาแน่นของกระดูกจะลดลงและเมื่ออายุ 65 ปี กระดูกจะมีการสูญเสียเรื่อยๆ เป็นไป ใน 3¹¹ นอกจากนี้การละลายตัวของกระดูกยังขึ้นกับการหลังของขอริโนเมตอเรเจนท์ลดลง¹² และเกี่ยวข้องกับโรคต่างๆ ที่มีผลต่อการละลายของกระดูก¹³ เช่น โรคกระดูกพรุน (osteoporosis) โรคภาวะกระดูกนิ่มและอโค้ดิง (osteomalacia) โรคภาวะความบกพร่องของการสร้างกระดูก (osteodystrophy) ภาวะทุพโภชนาการ เป็นต้น โรคกระดูกพรุนเป็นโรคที่มีการศึกษากันมาก โดยพบว่าผู้คนสูงในระยะวัยหมดประจำเดือนที่เป็นโรคนี้จะมีความสูงของสันกระดูกหากร้าว

กว่าที่สัมพันธ์กับปริมาณแคลเซียมในร่างกายโดยตรงอย่างมีนัยสำคัญ¹⁴ อย่างไรก็ตามมีผู้ตั้งข้อสงสัย¹⁵ ว่าถึงแม้โรคกระดูกพรุนจะเป็นปัจจัยเสี่ยงอย่างมากที่ทำให้เกิดการละลายของสันกระดูกหากร้ากว่าจะที่เหลืออยู่ แต่จะมีผลต่อการละลายตัวของสันกระดูกหากร้ากว่าจะในขารรไกรบันเท่านั้น ไม่มีผลในขารรไกรล่างซึ่งอาจเป็น เพราะโครงสร้างที่แตกต่างกันของขารรไกรบันและล่าง นอกจากนี้ยังมีรายงานที่อ้างอิงถึงโรคปริทันต์อักเสบว่ามีผลต่อการละลายของสันกระดูกหากร้ากว่าจะที่เหลืออยู่อย่างมีนัยสำคัญโดยสารชีวเคมีที่หลังออกมามีผลการดำเนินของโรคปริทันต์อักเสบ เช่น endotoxin จากแผลควบคุมที่อยู่ในช่องปาก, osteoclast-activating factor (OAF), prostaglandin และ human gingival bone resorption-stimulating factor เป็นต้น จะกระตุ้นเซลล์ลายกระดูก (osteoclast) อันมีผลโดยตรงต่อขั้นตอนการสร้างกระดูก¹⁶⁻²¹ ปัจจัยทางกายวิภาคศาสตร์ที่เกี่ยวข้องและมีบทบาทความสำคัญประการหนึ่งคือปัจจัยทางด้านเพศ กล่าวคือผู้หญิงจะมีการสูญเสียความหนาแน่นของกระดูกได้มากกว่าผู้ชาย จึงทำให้ผู้หญิงมีการละลายของสันกระดูกหากร้ากว่าจะโดยเฉพาะในกลุ่มวัยหมดประจำเดือน

การเปลี่ยนแปลงหลังจากการสูญเสียฟันนั้นได้มีผู้ทำการศึกษามากมาย^{6-9, 22-24} โดยที่ส่วนใหญ่มีความเห็นสอดคล้องกันว่าการเปลี่ยนแปลงที่พบได้บ่อยนั้นคือการที่สันกระดูกหากร้ากว่าจะมีรูปแบบการเปลี่ยนแปลงที่หลากหลาย และบ่อยครั้งพบว่าการเปลี่ยนแปลงนั้นเกี่ยวข้องกับปัจจัยทางกายภาพ เริ่มต้นของแต่ละบุคคล

ได้มีการวิเคราะห์รูปแบบการละลายตัวของสันกระดูกหากร้ากว่าจะ²²⁻²³ โดยพิจารณาจากลักษณะทางพยาธิวิทยา และทางสรีรวิทยาสามารถแบ่งได้เป็น 6 ระยะ ดังนี้ Class I เป็นระยะที่มีฟันหลงเหลืออยู่ในส่วนยื่นเน้าฟัน Class II เป็นระยะหลังการถอนฟันหรือสูญเสียฟันไป Class III เป็นระยะที่สันกระดูกหากร้ากว่าจะมีลักษณะกลมกว้างและมีความสูงเพียงพอ Class IV เป็นระยะที่สันกระดูกหากร้ากว่าจะมีลักษณะแหลมคล้ายใบมีด มีความสูงเพียงพอแต่มีความกว้างไม่เพียงพอ Class V เป็นระยะที่สันกระดูกหากร้ากว่าจะมีลักษณะแบบทั้งความสูงและความกว้างไม่เพียงพอ และ Class VI เป็นระยะที่ส่วนฐานของสันกระดูกหากร้ากว่าจะ มีการลดขนาด

จนมีลักษณะเว้าเป็นแองซีพบได้มากในขากรรไกรล่างมากกว่าขากรรไกรบนทั้งที่ปริมาณกระดูกที่ล้อมรอบส่วนปลายรากในขากรรไกรล่างมีมากกว่าในขากรรไกรบน

การละลายของสันกระดูกขากรรไกรว่างในขากรรไกรล่าง Enlow และคณะ²⁴ ได้อธิบายไว้ว่า กระดูกทึบทางด้านใกล้ริมฝีปากในบริเวณพื้นหน้ามีการละลายตัวไปทางด้านหลัง ทำให้มีโอกาสเกิดรูพรุนได้มากกว่าและมีการสูญเสียกระดูกในมิติแนวตั้ง ส่วนกระดูกทึบทางด้านใกล้ลิ้นของบริเวณเดียวกัน และปุ่มกระดูกประسانคาง (genial tubercle) ซึ่งอยู่บนโครงสร้างที่ไม่มีการละลายนั้นจะเชื่อมต่อกับกระดูกทางด้านหลังทำให้เก็บเป็นโครงสร้างที่เรียกว่า paralingual shelf ส่วนสันกระดูกขากรรไกรว่างในบริเวณพื้นหลังของกระดูกขากรรไกรล่างเมื่อมีการละลายตัวในมิติแนวตั้งเกิดขึ้นจะมีลักษณะปรากวูเป็นแองเว้าซึ่งเกิดจาก การที่มีโครงสร้าง 2 ส่วนที่ไม่มีการละลาย คือ mylohyoid line และ external oblique ridge

การเปลี่ยนแปลงในขากรรไกรบนจะมีรูปแบบการละลายตัวแตกต่างจากขากรรไกรล่างเพราasmicโครงสร้างที่แตกต่างกันกล่าวคือมีกระดูกเพเดานปากที่สามารถรองรับและกระจายแรงบดเคี้ยวหรือแรงกดจากพื้นปลอมได้อย่างทั่วถึง ตัวกระดูกเพเดานปากเองยังเป็นตัวจำกัดการละลายของกระดูกทำให้สันกระดูกขากรรไกรว่างไม่สามารถละลายตัวจนต่ำกว่าเพเดานปากได้ การละลายของสันกระดูกขากรรไกรว่างในบริเวณพื้นหน้าบันนั้นส่วนมากเกิดในแนวราบทางด้านใกล้ริมฝีปากและมีการสะสมกระดูกอย่างต่อเนื่องทางด้านใกล้เพเดานในบริเวณเดียวกันทำให้การสูญเสียกระดูกในบริเวณพื้นหน้าบันนั้นเป็นแบบลดด้อยไปทางด้านหลังซึ่งจะส่งผลต่อการเปลี่ยนแปลงความสมพันธ์กับขากรรไกรล่างในบริเวณพื้นหน้า ในลักษณะที่ดูเหมือนว่ามีการยื่นออกไปของขากรรไกรล่างเกิดขึ้น²⁵

ความกว้างของสันเนือกที่เหลืออยู่มีผลต่อการออกแบบและการเดือกนาดของชีพนปลอมสำหรับงานพื้นปลอมโดยได้โดยสันเนือกที่มีรูปร่างกลมและมีความกว้างใกล้เคียงกับส่วนยื่นเบ้าพื้นของพื้นข้างเคียงหรือของเติมนั้นจะสามารถรองรับแรงบดเคี้ยวได้ แต่สันเนือกที่เหลืออยู่มีสันกระดูกขากรรไกรว่างที่แคบและแหลมไม่ค่อยพิจารณาให้เป็นบริเวณในการรับแรงบดเคี้ยวอย่างยิ่ง เนื่องจากมีลักษณะคมอาจทำให้เกิดการบาดเจ็บและเรื่อตัวการละลายตัวของกระดูกมากขึ้นอีกด้วย สำหรับการ

ฟังจากเทียนนั้นขนาดเส้นผ่าศูนย์กลางต้องมีความเหมาะสมกับกระดูกของรับ หากเพียงพอจะมีผลต่อความอยู่รอดของรากเทียมและความสามารถด้านแรงบดเคี้ยวอันเป็นส่วนหนึ่งของการประสบผลสำเร็จของการรักษา มีรายงานว่าในบริเวณพื้นหน้าสันกระดูกขากรรไกรว่างควรกว้างอย่างน้อย 4.5 มิลลิเมตรขึ้นไป^{3,4} อย่างไรก็ตามมีผู้พบว่าความกว้างของสันกระดูกขากรรไกรว่างที่เหมาะสมสำหรับการฟังรากเทียมควรมีพื้นที่ของกระดูกรอบ ๆ รากเทียม 1-2 มิลลิเมตร เมื่อทำการฟังลงไปแล้วซึ่งจะทำให้สามารถรองรับแรงบดเคี้ยวได้ดีตลอดจนมีเส้นเลือดมาหล่อเลี้ยงอย่างเพียงพอ² ส่วนในกรณีที่มีความกว้างของกระดูกไม่เพียงพอนั้น อาจจำเป็นต้องพิจารณาให้ปลูกกระดูกเพิ่มหรือเลือกใช้รากเทียมที่มีขนาดเส้นผ่าศูนย์กลางลดลง²⁶

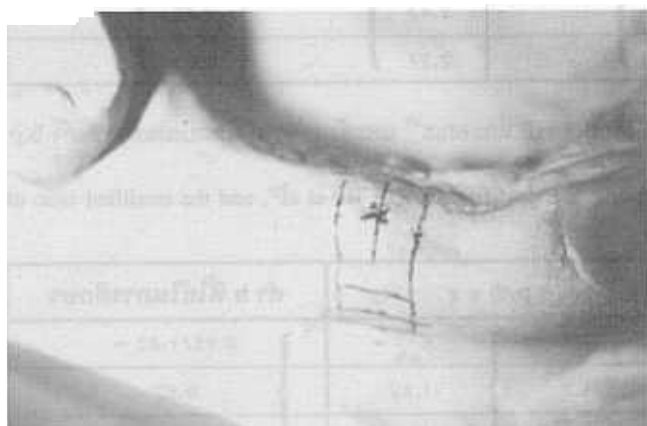
การศึกษาเกี่ยวกับขนาดของสันกระดูกขากรรไกรที่เหลืออยู่ยังไม่เพิ่มมีรายงานในกลุ่มประชากรไทย จึงต้องการทำการศึกษาเพื่อเป็นข้อมูลพื้นฐานในการศึกษาขั้นต่อไป อย่างไรก็ตามการศึกษาครั้งนี้จะทำการหักค่าความหนาของเนื้อเยื่ออ่อนที่ปักคลุมสันกระดูกขากรรไกรว่าง และทำการวัดความกว้างของสันกระดูกขากรรไกรว่างในแต่ละระดับความสูงจากยอดสันเนือก รวมทั้งทำการศึกษาในขากรรไกรบนและล่าง

วิธีดำเนินการวิจัย

วัสดุและอุปกรณ์

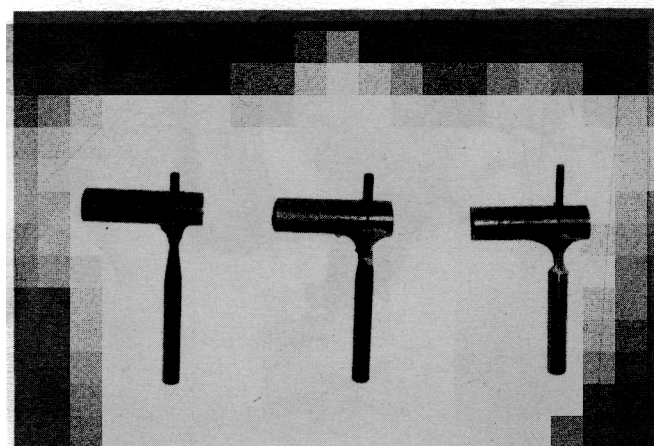
ทำการศึกษาเก็บข้อมูลโดยสุ่มเลือกขึ้นหล่อวินิจฉัยของผู้ป่วยที่เข้ามารับการรักษาในภาควิชาทันตกรรมประดิษฐ์ คณะทันตแพทยศาสตร์ จุฬาลงกรณ์มหาวิทยาลัยระหว่างปี พ.ศ. 2536-2540 เป็นจำนวน 113 คู่ แบ่งเป็นชาย 45 คน หญิง 68 คน มีอายุโดยเฉลี่ย 42.98 ปี จำแนกบริเวณสันเนือกว่างที่มีการสูญเสียพื้นในชั้นหล่อวินิจฉัยทั้งบันและล่างของอกเป็น 6 บริเวณ คือ บริเวณพื้นหน้าซึ่งมีอាមนาเขตตั้งแต่พื้นเขี้ยวด้านหนึ่ง จนมาถึงอีกด้านหนึ่งในขากรรไกรเดียวกัน บริเวณพื้นหลังทางด้านซ้ายและขวาซึ่งมีอាមนาเขตตั้งแต่พื้นกรามน้อยซึ่งที่นี่จะถูกพิจารณาซึ่งมีสิ่งที่สอง ทำการกำหนดคุณตรงบริเวณที่คิดว่าเป็นกีบกลางของชีพนที่มีการสูญเสียไป โดยถ้ามีการหายของพื้นไปเพียงชี้เดียวจะอาศัยตำแหน่งพื้นข้างเคียงเป็นหลักแต่ถ้ามีการหายไปหลายชี้จะพิจารณาตำแหน่งจากลักษณะทางกายวิภาคที่เหลืออยู่แล้วใช้ดินสอทำเครื่องหมายเป็นรูปกาบที่บริเวณนั้นๆ (รูปที่ 1) จากนั้นนำขึ้นหล่อวินิจฉัยทั้งบันและล่างเข้าเครื่อง

สำหรับ น้ำแท่งวิเคราะห์จำนวน 3 แท่งมาดัดแปลงโดยใช้แท่งพลาสติกทรงกระบอกขนาดยาว 15 มิลลิเมตรมาเชื่อมต่อกับแท่งวิเคราะห์ในลักษณะตั้งฉากซึ่งกันและกันด้วยอะคริลิกชนิดบ่มด้วยตัวเอง ดัดแปลงแท่งวิเคราะห์ทั้งหมด 3 แท่งโดยเชื่อมแท่งพลาสติกห่างจากปลายของแท่งวิเคราะห์เป็นระยะทาง 3 มิลลิเมตร 5 มิลลิเมตร และ 7 มิลลิเมตร ตามลำดับ(รูปที่ 2) แล้วนำแท่งวิเคราะห์ที่ดัดแปลงแล้วมากำหนดตำแหน่งที่ระดับความสูงจากยอดสันเนื้อของตำแหน่งกึ่งกลางบริเวณที่คิดว่ามีการสูญเสียของฟันไปทางปลายรากฟันเป็นระยะ 3 มิลลิเมตร 5 มิลลิเมตร และ 7 มิลลิเมตร ตามลำดับ ใช้ดินสอขีดเป็นเส้นแนวราบเพื่อบอกตำแหน่งของระยะต่าง ๆ จากยอดสันเนื้อ กทำเขียนเดียวกันนี้ที่ตำแหน่งหน้าและหลังต่อจุดที่คิดว่ามีการสูญเสียของฟันไปเป็นระยะทาง 2 มิลลิเมตร (รูปที่ 3) ทำการวัดความกว้างของสันเนื้อโดยใช้ Booley sliding caliper ที่มีความละเอียด 0.01 เซนติเมตร (รูปที่ 4) เป็นเครื่องมือวัดตามตำแหน่งต่าง ๆ ที่ได้กำหนดไว้แล้ว (รูปที่ 5) โดยถ้าสันเนื้อกว้างนั้นมีความสูงจากยอดสันเนื้อกลงมาทางปลายรากฟันเพียงพอ จะทำการวัดได้ 9 ตำแหน่ง ซึ่งได้แก่ ตำแหน่งของระยะทางจากยอดสันเนื้อกลงมาทางปลายรากฟัน 3 มิลลิเมตร 5 มิลลิเมตร และ 7 มิลลิเมตร ของตำแหน่งที่คาดว่ามีการสูญเสียฟันไป และตำแหน่ง 2 มิลลิเมตร หน้าและหลังต่อตำแหน่งดังกล่าว (รูปที่ 3) อย่างไรก็ตามสันเนื้อกว้างบางบริเวณอาจมีความสูงไม่พอที่จะวัดได้ครบทั้ง 9 ตำแหน่ง จึงอาจต้องได้เพียง 6 หรือ 3 ตำแหน่ง กล่าวคือวัดความกว้างของสันเนื้อได้เฉพาะระยะห่างจากยอดสันเนื้อ 3 มิลลิเมตร และ 5 มิลลิเมตร หรือ เพียง 3 มิลลิเมตร เท่านั้น



รูปที่ 1 การกำหนดจุดตรงบริเวณที่คิดว่าเป็นกึ่งกลางของชี้ฟันที่มีการสูญเสียไป

Figure 1 Marked the point to suppose the center point of the extracted teeth.



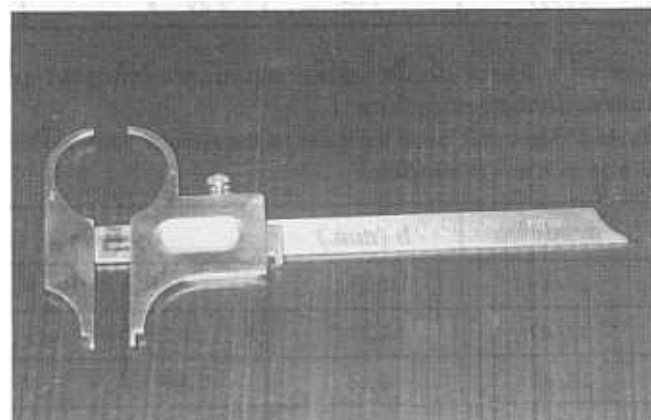
รูปที่ 2 แท่งวิเคราะห์ที่ทำการดัดแปลงเพื่อกำหนดระดับจากยอดสันเนื้อในการศึกษา

Figure 2 Modified analyzing rod for labeling the level from the top of the ridge in the study.



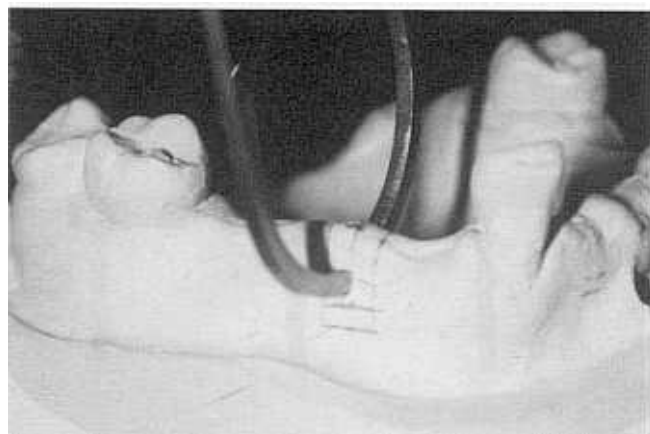
รูปที่ 3 ตำแหน่งต่าง ๆ ที่ทำการเก็บข้อมูลในแต่ละ บริเวณที่มีการสูญเสียฟันไป

Figure 3 Positions for recording data in each edentulous area.



รูปที่ 4 Booley sliding caliper ที่ใช้วัดความกว้างของสันเนื้อ

Figure 4 Booley sliding caliper for measuring the width of the edentulous ridge.



รูปที่ 5 การวัดความกว้างของสันเหงือกโดยใช้ Booley sliding caliper

ผู้ทำการทดลองทำการวัดด้วยวิธีดังกล่าวข้างต้นคนละครั้ง โดยใช้เครื่องมือคงละชิ้นกันแล้วนำมาหาค่าเฉลี่ยความกว้างของสันเหงือกว่างในตำแหน่งพื้นที่มีการสูญเสียไป นำข้อมูลที่ได้มาจัดเข้าเป็นบิเวนต่างๆ ของขากรรไกรตามวิธีที่แบ่งไว้แล้ว

ตารางที่ 1 แสดงค่าเฉลี่ยอ่อนที่ปักคลุมกระดูกและพื้นตามรายงานของ Muller HP และคณะ²⁷ และอัตราส่วนที่ตัดแปลงแล้วของค่า b,p,pp ในแต่ละบิเวนของขากรรไกรบน

Table 1 Show soft tissue thickness on the alveolar bone and teeth according to report from muller HP et al²⁷, and the modified ratio of b,p, pp in each area in maxilla.

ตำแหน่งพื้น	b (mm.)	p (mm.)	pp (mm.)	$p/b = x$	$pp/b = x$
11/12	1.00	2.09	2.20	2.09	2.20
12/22	0.86	2.22	2.52	2.58	2.93
13/23	0.70	2.32	2.73	3.31	3.90
14/24	0.84	2.40	2.88	2.86	3.43
15/25	0.81	2.33	2.81	2.88	3.47
16/26	0.88	2.14	2.12	2.43	2.40
17/27	1.05	2.49	2.15	2.37	2.05

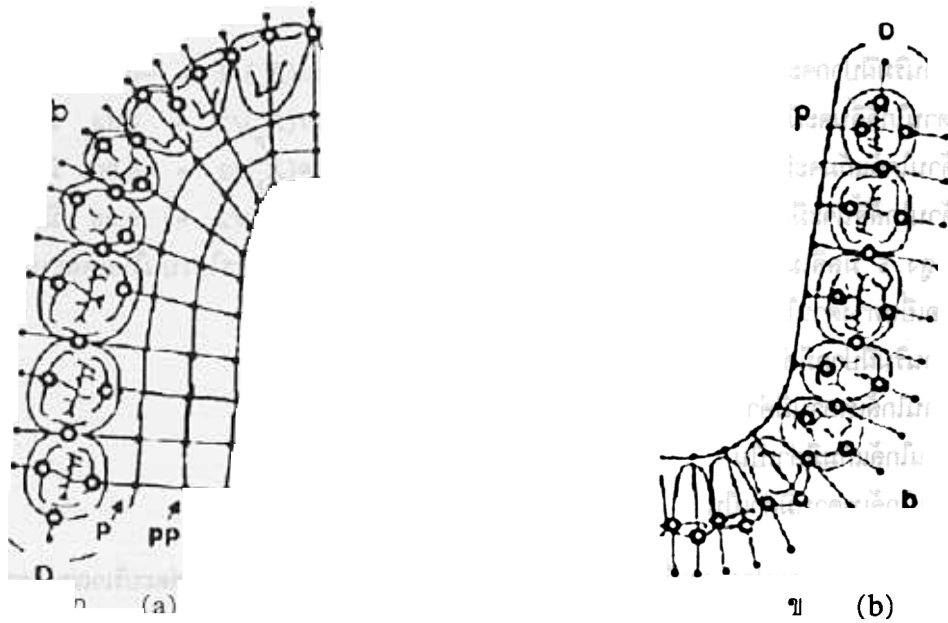
ตารางที่ 2 แสดงค่าเฉลี่ยอ่อนที่ปักคลุมกระดูกและพื้นตามรายงานของ Muller HP และคณะ²⁷ และอัตราส่วนที่ตัดแปลงแล้วของค่า b,p

ในแต่ละบิเวนของขากรรไกรล่าง

Table 2 Show soft tissue thickness on the alveolar bone and teeth according to report from muller HP et al²⁷, and the modified ratio of b, p in each area in mandible.

ตำแหน่งพื้น	b (mm.)	p (mm.)	$p/b = x$	ค่า b ที่ใช้ในการศึกษา
31/41	0.65	1.04	1.6	0.95/1.42 =
32/42	0.71	0.85	1.2	0.67
33/43	0.66	0.96	1.45	
34/44	0.68	1.21	1.78	1.50/1.50 =
35/45	0.82	1.36	1.66	1
36/46	1.14	1.59	1.39	
37/47	1.56	1.84	1.18	

ในข้างต้น นำมาหาค่าเฉลี่ยความกว้างของสันเหงือก ว่างที่บริเวณต่างๆ จากนั้นนำค่าเฉลี่ยของสันเหงือกกว่างที่ได้มาหักออกด้วยค่าความหนาเฉลี่ยเนื้อเยื่ออ่อนที่ปักคลุมบิเวน สันเหงือกว่าง โดยค่าเฉลี่ยความหนาของเนื้อเยื่ออ่อนนั้นได้มาจากการตัดแปลงค่าความหนาเฉลี่ยของเนื้อเยื่ออ่อนที่ปักคลุมกระดูกและพื้นซึ่งทำการศึกษาโดย Muller HP และคณะ²⁷ ดังแสดงค่าและลักษณะการแบ่งตำแหน่งที่ทำการวัดในการหาความหนาของเนื้อเยื่ออ่อนที่ปักคลุมบิเวนต่างๆ ตามลำดับตามตารางที่ 1 และ 2 และ รูปที่ 6 ก และ ฯ ซึ่งพบว่าที่ระดับความสูง 3 มิลลิเมตร จากยอดสันเหงือกทั้งในขากรรไกรบนและล่างจะมีความหนาของเนื้อเยื่ออ่อนที่ปักคลุมสันกระดูกขากรรไกรกว่าง ด้านใกล้ริมฝีปากหรือด้านใกล้แก้มตามค่าตัวเลขในช่อง b ส่วนค่าความหนาของเนื้อเยื่ออ่อนที่ปักคลุมกระดูกทางด้านใกล้เพดานหรือลิ้นจะมีค่าตามตัวเลขในช่อง p และที่ระดับความสูง 7 มิลลิเมตร ค่าความหนาของเนื้อเยื่ออ่อนที่ปักคลุมกระดูกขากรรไกรอยู่สันเหงือกในขากรรไกรบนทางด้านใกล้เพดานจะมีค่าตามช่อง pp



รูปที่ ๖ แสดงลักษณะการแบ่งตำแหน่งที่ทำการวัดในการหาความหนาของเนื้อเยื่ออ่อนที่ปักคลุมบริเวณต่างๆ ในขากรรไกรบน (ก) และขากรรไกรล่าง (ข)

Figure 6 Show positions for measuring area in finding the thickness of the soft tissue in each area in maxilla (a) and mandible (b)

การตัดแปลงค่าเฉลี่ยเนื้อเยื่อที่ปักคลุมสันกระดูกขากรรไกร ว่างในขากรรไกรบนทำได้โดยใช้ค่าของข้อมูลในตำแหน่ง p , b และ pp โดยในขั้นแรกนำค่า p และ b มาหาอัตราส่วนเพื่อ นำมาหาความสัมพันธ์ของความหนาเนื้อเยื่ออ่อนด้านใกล้แก้ม กับด้านใกล้ลิ้นในแต่ละบริเวณ โดยสัดส่วนระหว่าง p และ b ที่แสดงดังในตารางที่ ๑ ทำให้ทราบว่าค่าความหนาของเนื้อเยื่ออ่อนที่ปักคลุมกระดูกทางด้านใกล้เพดาน หรือ ค่า p หนาเป็น กี่เท่าของความหนาของเนื้อเยื่ออ่อนที่ปักคลุมกระดูกทางด้านใกล้แก้ม หรือ ค่า b ในแต่ละบริเวณ ซึ่งบริเวณพื้นหน้าบัน p หนากว่า b โดยเฉลี่ย 2.66 มิลลิเมตร และพื้นหลังบัน p หนา กว่า b โดยเฉลี่ย 2.64 มิลลิเมตร (ตารางที่ ๑) ซึ่งค่า 2 ค่านี้ จะถือว่าเป็นค่าคงที่ค่าหนึ่งและจะนำค่าเหล่านี้ย้อนกลับไปใช้หา ความหนาของเนื้อเยื่ออ่อนด้านใกล้ริมฝีปากหรือด้านใกล้แก้ม ใน帽โดยจะไม่ใช้ค่า b ในตารางที่ ๑ อีก เพราะต้องการหาความหนาของเนื้อเยื่อด้านนี้ที่ระดับ ๕ และ ๗ มิลลิเมตรด้วย โดย อาศัยความสัมพันธ์จากค่าอัตราส่วนของ p และ b แทน จาก สมการในการหาค่าความสัมพันธ์ของเนื้อเยื่ออ่อนคือ $x_p / x_b = x_{p/b}$ ดังนั้น $x_p / x_{p/b} = X_b$ ให้ถือเป็นสมการที่ ๑ เมื่อเรา แทนค่า x_p ของตารางที่ ๑ (พื้นหน้าบันมีค่าเฉลี่ย 2.21 มิลลิเมตร พื้นหลังบันมีค่า 2.34 มิลลิเมตร) ลงในสมการนี้ จะได้ค่าเฉลี่ย ความหนาของเนื้อเยื่ออ่อนด้านใกล้ริมฝีปาก (x_b) ของบริเวณ พื้นหน้าบันที่ระดับ ๓ มิลลิเมตรจากผลสัมฤทธิ์เกิน ๒.๒๑/

$2.66=0.83$ มิลลิเมตรและด้านใกล้แก้ม ในพื้นหลังเป็น ๒.๓๔/
 $2.64=0.89$ มิลลิเมตร

ในหัวของเดียวันที่ระดับ ๗ มิลลิเมตรการค่าความหนา เฉลี่ยของเนื้อเยื่ออ่อนที่ปักคลุมสันกระดูกขากรรไกรว่างใน ขากรรไกรบน ทำได้โดยใช้ค่าเฉลี่ยอัตราส่วนของ pp และ b ในแต่ละบริเวณ และค่าความหนาเฉลี่ยของช่อง pp (x_{pp}) ในตารางที่ ๑ จะได้ค่าความหนาเฉลี่ยของเนื้อเยื่ออ่อนที่ปักคลุม สันกระดูกขากรรไกรว่างในพื้นหน้าด้านริมฝีปากที่ระดับ ๗ มิลลิเมตร (x_{pb}) เป็น $2.48/3.01 = 0.82$ มิลลิเมตร และใน พื้นหลังเป็น $2.49/2.84 = 0.88$ มิลลิเมตร

ส่วนในการหาค่าความหนาของเนื้อเยื่ออ่อนที่ระดับ ๕ มิลลิเมตรทั้งด้านใกล้แก้ม/ด้านริมฝีปากและด้านใกล้ลิ้นนั้น ทำได้โดยเทียบบัญญัติโดยร่างกายจากค่าความหนาที่เปลี่ยนไป เมื่อมีระดับความสูงของสันกระดูกขากรรไกรว่างที่เพิ่มขึ้น โดย กำหนดว่า เมื่อความสูงเพิ่มขึ้น 4 มิลลิเมตร จะมีค่าความหนา เพิ่มขึ้น y มิลลิเมตร ดังนั้นถ้าความสูงเพิ่มขึ้น 2 มิลลิเมตร ควรจะมีความหนาเพิ่มขึ้นเป็น $2y/4 = y/2$ มิลลิเมตร เป็น สมการที่ ๒ โดยที่ y เป็นค่าความหนาของเนื้อเยื่ออ่อนที่เพิ่ม ขึ้นเมื่อมีระดับความสูงจากยอดสันแห่งอกมาทางปลายรากฟัน มากขึ้นจาก ๓ มิลลิเมตร เป็น ๗ มิลลิเมตร ซึ่งเมื่อนำค่า y มาแทนค่าในสมการที่ ๒ จะได้ค่าความหนาของเนื้อเยื่ออ่อนที่ เพิ่มขึ้นในบริเวณต่างๆ ดังนี้

บริเวณพื้นหน้าบันด้านริมฝีปากจะมีค่าความหนาเพิ่มขึ้น บริเวณพื้นหน้าบันด้านไกลลิ้นจะมีค่าความหนาเพิ่มขึ้น บริเวณพื้นหลังบันด้านไกลลั้นแก้มจะมีค่าความหนาเพิ่มขึ้น บริเวณพื้นหลังบันด้านไกลลิ้นจะมีค่าความหนาเพิ่มขึ้น ตั้งนั้นที่ระดับความสูง 5 มิลลิเมตรจากยอดสันเหงือกค่าเฉลี่ยเนื้อเยื่ออ่อนในขากรรไกรบนในแต่ละบริเวณจะได้จากการรวมค่าความหนาของเนื้อเยื่อทางด้านไกลลั้นแก้มและไกลลิ้นซึ่งมีค่าเป็นดังนี้	$0.82(X_{bb}) - 0.83(X_b)/2 = -0.005$ มิลลิเมตร $2.48(X_{pp}) - 2.21(X_p)/2 = 0.14$ มิลลิเมตร $0.88(X_{bb}) - 0.89(X_b)/2 = -0.005$ มิลลิเมตร $2.49(X_{pp}) - 2.34(X_p)/2 = 0.08$ มิลลิเมตร
บริเวณพื้นหน้าบันด้านริมฝีปากมีค่าเป็น บริเวณพื้นหน้าบันด้านไกลลิ้นเพดานมีค่าเป็น บริเวณพื้นหลังบันด้านไกลลั้นแก้มมีค่าเป็น บริเวณพื้นหลังบันด้านไกลลิ้นเพดานมีค่าเป็น	$0.83 - 0.005 = 0.825$ มิลลิเมตร $2.21 + 0.14 = 2.35$ มิลลิเมตร $0.89 - 0.005 = 0.885$ มิลลิเมตร $2.43 + 0.08 = 2.51$ มิลลิเมตร

ตารางที่ 3 แสดงค่าความหนาดัดแปลงของเนื้อเยื่ออ่อนที่ปักคลุมสันกระดูกขากรรไกรว่างในแต่ละบริเวณของขากรรไกรบน ในบริเวณพื้นหน้าและพื้นหลังที่ความสูงระดับต่าง ๆ กัน

Table 3 Show modified thickness of the soft tissue cover edentulous ridge in each area in maxilla both anterior and posterior at various height level.

บริเวณ ระดับ	พื้นหน้า		ค่าเฉลี่ย	พื้นหลัง		ค่าเฉลี่ย
	ไกลริมฝีปาก (b)	ไกลลิ้น (p)		รวม	ไกลแก้ม	ไกลลิ้น
3 มม.	0.83 มม.	2.21 มม.	3.04 มม.	0.89 มม.	2.34 มม.	3.23 มม.
5 มม.	0.825 มม.	2.35 มม.	3.175 มม.	0.885 มม.	2.51 มม.	3.395 มม.
7 มม.	0.82 มม.	2.48 มม.	3.31 มม.	0.88 มม.	2.49 มม.	3.37 มม.

ตารางที่ 4 แสดงค่าเนื้อเยื่ออ่อนปักคลุมสันกระดูกขากรรไกรว่างที่ระดับ 3 มม. ในบริเวณต่าง ๆ ของขากรรไกรล่าง และค่าเฉลี่ยรวมของความหนาเนื้อเยื่อ

Table 4 Show soft tissue thickness cover edentulous ridge at 3 mm. in each area of mandible and the average value of soft tissue thickness.

บริเวณระดับ	บริเวณพื้นหน้า		บริเวณพื้นหลัง		ค่าเฉลี่ย
	ด้านไกลริมฝีปาก	ด้านไกลลิ้น	ด้านไกลแก้ม	ด้านไกลลิ้น	
3 มม.	0.67 มม.	0.95 มม.	1 มม.	1.5 มม.	2.06 มม.

ตารางที่ 3 แสดงค่าความหนาเฉลี่ยของเนื้อเยื่ออ่อนที่ปักคลุมสันกระดูกขากรรไกรว่างในแต่ละบริเวณของขากรรไกรบน และค่าความหนารวมเมื่อนำค่าเฉลี่ยของเนื้อเยื่อต้นด้านไกลลั้นแก้มและด้านไกลลิ้นมารวมกันทั้งในบริเวณพื้นหน้าบันและพื้นหลังบัน จากนั้นนำค่าที่ได้มาหาค่าเฉลี่ยรวมเพื่อนำไปลบออกจากความกว้างของสันเหงือกว่างในแต่ละบริเวณของขากรรไกรบนที่ศึกษา โดยค่าเฉลี่ยของเนื้อเยื่ออ่อนสำหรับขากรรไกรบน คือ 3.25 มิลลิเมตร

สำหรับในขากรรไกรล่างจะใช้ค่าในตารางที่ 2 มาคิดหาความหนาเฉลี่ยของเนื้อเยื่ออ่อนตามขั้นตอนและวิธีเดียวกับขากรรไกรบนซึ่งจะได้ค่าเฉลี่ยของความหนาของเนื้อเยื่อที่ปักคลุมแต่ละด้านในบริเวณต่าง ๆ กันดังแสดงในตารางที่ 4 นำค่าเฉลี่ยของเนื้อเยื่อต้นที่ปักคลุมกระดูกด้านไกลลั้นแก้มและด้านไกลลิ้นมาหาค่าความหนาของเนื้อเยื่ออ่อนรวมที่ปักคลุมสันกระดูกขากรรไกรว่างในแต่ละบริเวณ โดยบริเวณพื้นหน้ามีค่าเฉลี่ยเป็น 1.62 มิลลิเมตร และในบริเวณพื้นหลังมีค่าเฉลี่ยเป็น 2.5

มิลลิเมตร ในทำนองเดียวกับข้าราชการกรีบันนำค่าทั้ง 2 บริเวณ นี้มาความหนาเฉลี่ยรวมเพื่อใช้ลบออกจากความกว้างของสัน เห็นอกว่างในข้าราชการกรีบลัง

เมื่อหักลบหาค่าความกว้างของกระดูกข้าราชการได้ในแต่ละตำแหน่งแล้วใช้ Two-way ANOVA ในการหาความสัมพันธ์ทางสถิติ ที่ระดับความเชื่อมั่น 0.05

ทำการวิจัยนี้ร่วมโดยเริ่มเก็บข้อมูลจริงเพื่อปรับวิธีวัดของผู้ทำการทดลอง เครื่องมือวัดทั้ง 2 ชิ้น ตลอดจนทำการเข้าใจกับวิธีการแปลผล โดยให้ผู้ทำการทดลองแต่ละคนวัดความกว้างของสันเห็นอกของขั้นหล่อวินิจฉัยบนและล่างในบริเวณที่มีการสูญเสียฟันเป็นจำนวน 12 คู่ ในตำแหน่งเดียวกันคนละ 2 ครั้งทำการวัดแต่ละครั้งในคนละวันและบันทึกข้อมูลแยกกัน จากนั้นนำค่าเฉลี่ยมาเปรียบเทียบโดยใช้ independent samples T-test ในการทดสอบ พบว่าข้อมูลของผู้ทำการทดลองทั้ง 2 คนหรือในผู้ทำการทดลองเดียวกันไม่มีความแตกต่างกันที่ระดับความเชื่อมั่น $p < 0.05$

ผลการวิจัย

แผนภูมิที่ 1 แสดงผลของความกว้างเฉลี่ยของสันกระดูกข้าราชการกรีบลังทั้งในข้าราชการกรีบันและล่างที่ระดับ 3 มิลลิเมตร ระหว่างเพศชายและหญิง เมื่อนำไปคำนวณทางสถิติแล้ว พบว่าความกว้างเฉลี่ยของกระดูกข้าราชการกรีบลังของเพศชาย มีค่ามากกว่าเพศหญิงอย่างไม่มีนัยสำคัญ

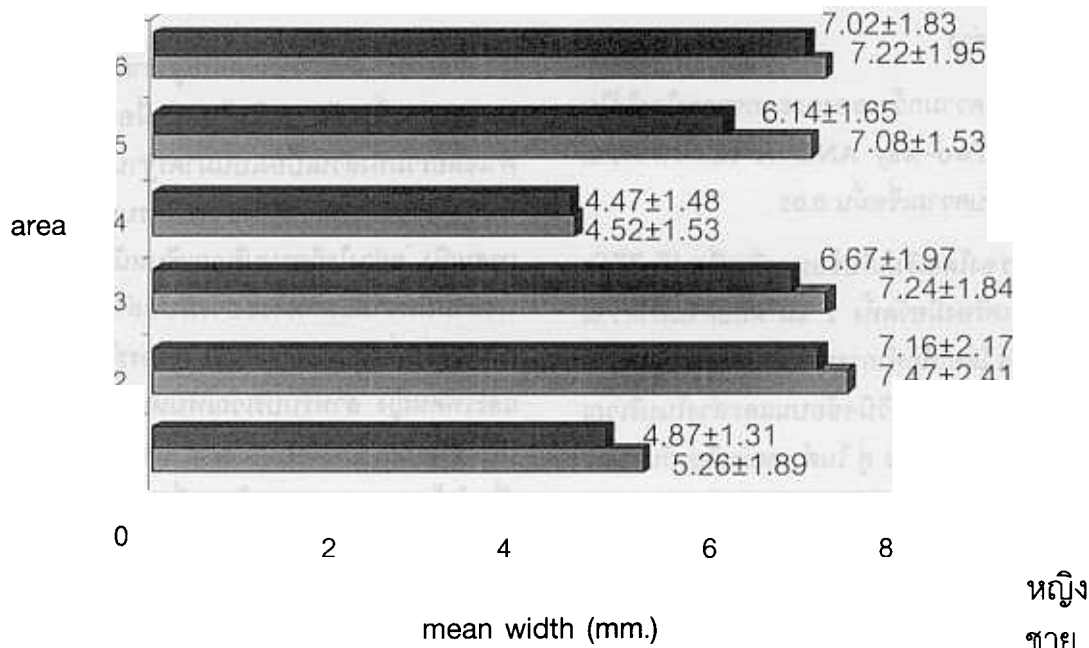
เมื่อนำข้อมูลที่ระดับ 3 มิลลิเมตร มาหาความกว้างเฉลี่ย แต่ละบริเวณ จำแนกตามช่วงอายุจะได้ค่าเฉลี่ยและส่วนเบี่ยงเบนมาตรฐานดังแสดงในแผนภูมิที่ 2 เมื่อทำการเปรียบเทียบทางสถิติ พบว่าค่าความกว้างเฉลี่ยของกระดูกข้าราชการกรีบลังมีค่าเพิ่มขึ้น ตามอายุที่เพิ่มขึ้นในทุกบริเวณ ยกเว้นบริเวณพันหลังบนช้าย ที่มีลักษณะตรงข้ามคือความกว้างของสันกระดูกข้าราชการกรีบลัง มีค่าลดลงเมื่ออายุมากขึ้น ทั้งนี้ไม่มีความแตกต่างอย่างมีนัย

สำคัญทางสถิติของความกว้างเฉลี่ยที่บริเวณเดียวกันของข้าราชการกรีบลังของแต่ละช่วงอายุ

สำหรับความกว้างของกระดูกข้าราชการกรีบลังในข้าราชการกรีบันและล่างที่ระดับ 5 มิลลิเมตรเมื่อคำนวณทางสถิติแล้วได้ค่าเฉลี่ยรวมทั้งส่วนเบี่ยงเบนมาตรฐานดังแสดงในแผนภูมิที่ 3 พบว่าความกว้างเฉลี่ยของข้าราชการกรีบันของเพศชายมีมากกว่าเพศหญิง อย่างไรก็ตามบริเวณพันหน้าล่างมีลักษณะตรงข้าม ทั้งนี้ไม่มีความแตกต่างอย่างมีนัยสำคัญทางสถิติของความกว้างเฉลี่ยที่บริเวณเดียวกันของข้าราชการกรีบลังระหว่างเพศชาย และเพศหญิง สำหรับบริเวณพันหน้าล่างในเพศหญิงมีข้อมูลเพียงรายเดียวจึงทำให้ไม่สามารถหาส่วนเบี่ยงเบนมาตรฐานได้ เมื่อนำข้อมูลมาหาความกว้างเฉลี่ยและส่วนเบี่ยงเบนมาตรฐานในแต่ละบริเวณซึ่งจำแนกตามช่วงอายุ ได้ดังแผนภูมิที่ 4 พบว่า ค่าความกว้างเฉลี่ยมีค่าเพิ่มขึ้นเมื่อช่วงอายุเพิ่มขึ้น ยกเว้นบริเวณพันหลังบนช้าย พันหลังล่างขวา และพันหน้าล่าง ทั้งนี้ไม่มีความแตกต่างอย่างมีนัยสำคัญตามที่คาดการณ์ไว้ ยกเว้นบริเวณพันหลังล่างขวา และพันหน้าล่าง ทั้งนี้ไม่มีความกว้างเฉลี่ยและส่วนเบี่ยงเบนมาตรฐานได้ตามที่คาดการณ์ไว้

แผนภูมิที่ 5 แสดงข้อมูลความกว้างของสันกระดูกข้าราชการกรีบลังที่ระดับ 7 มิลลิเมตร พบว่าความกว้างเฉลี่ยของสันกระดูกข้าราชการกรีบลังของเพศชายมีค่ามากกว่าเพศหญิง ยกเว้นบริเวณพันหลังล่างแต่ไม่มีความแตกต่างอย่างมีนัย สำคัญทางสถิติของความกว้างเฉลี่ยที่บริเวณเดียวกันของข้าราชการกรีบลังระหว่างเพศชายและเพศหญิง เมื่อนำข้อมูลมาหาความกว้างเฉลี่ยและส่วนเบี่ยงเบนมาตรฐานโดยจำแนกตามช่วงอายุ (แผนภูมิที่ 6) พบว่าไม่มีความสัมพันธ์ระหว่างความกว้างเฉลี่ยที่ระดับ 7 มิลลิเมตรและอายุ

จากข้อมูลความกว้างเฉลี่ยในแต่ละระดับความสูงและแต่ละบริเวณดังที่ได้แจกแจงไปแล้วสามารถสรุปเป็นค่าตัวเลข และดูความสัมพันธ์ได้ตามแผนภูมิที่ 7



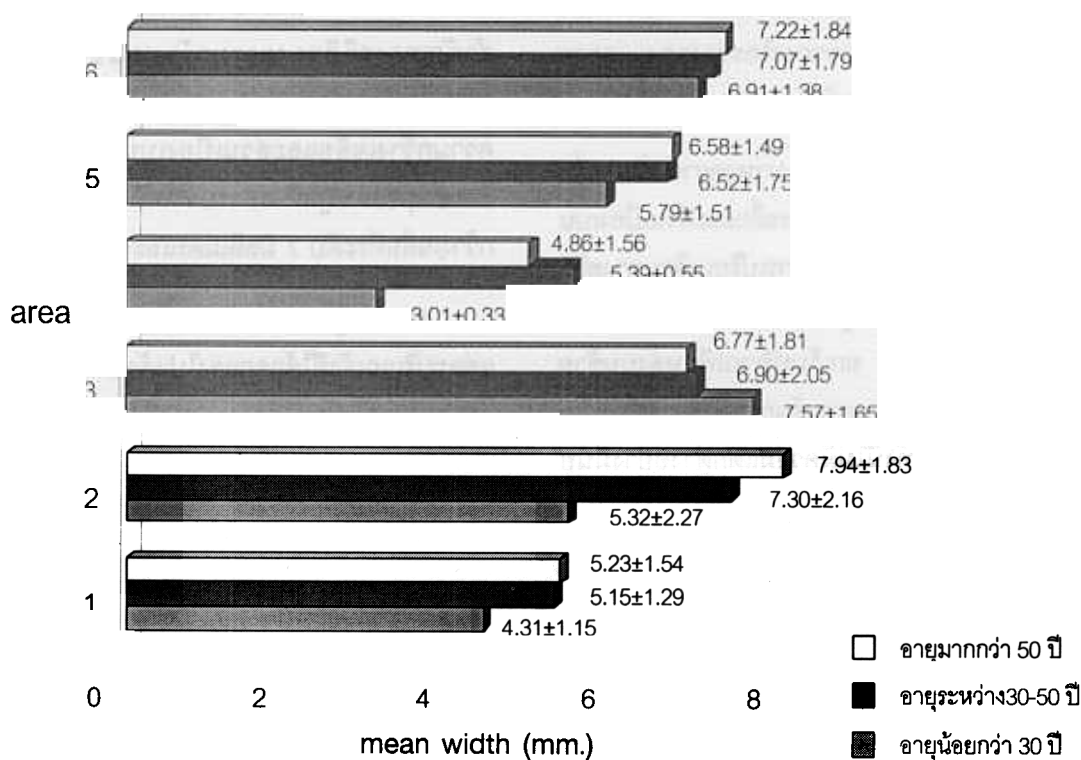
แผนภูมิที่ 1 ค่าความกว้างเฉลี่ยของสันกระดูกขากรรไกรว่างระหว่างเพศชายและหญิงที่ความสูงระดับ 3 มม.

Graph 1 Average edentulous ridge width between male and female at 3 mm. height

หมายเหตุ ค่าที่แสดง คือ Mean \pm SD

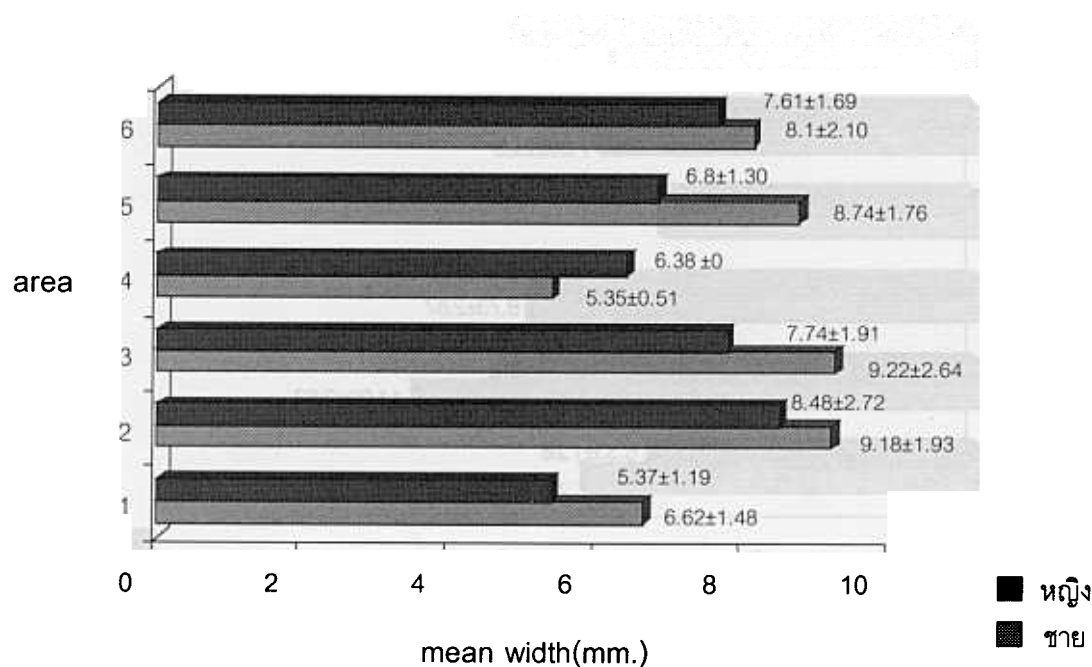
Remark Show value is Mean \pm SD

1 คือ บริเวณพื้นหน้าบน	upper anterior	4 คือ บริเวณพื้นหน้าล่าง	lower anterior
2 คือ บริเวณพื้นหลังบนขวา	upper right posterior	5 คือ บริเวณพื้นหลังล่างซ้าย	lower left posterior
3 คือ บริเวณพื้นหลังบนซ้าย	upper left posterior	6 คือ บริเวณพื้นหลังล่างขวา	lower right posterior



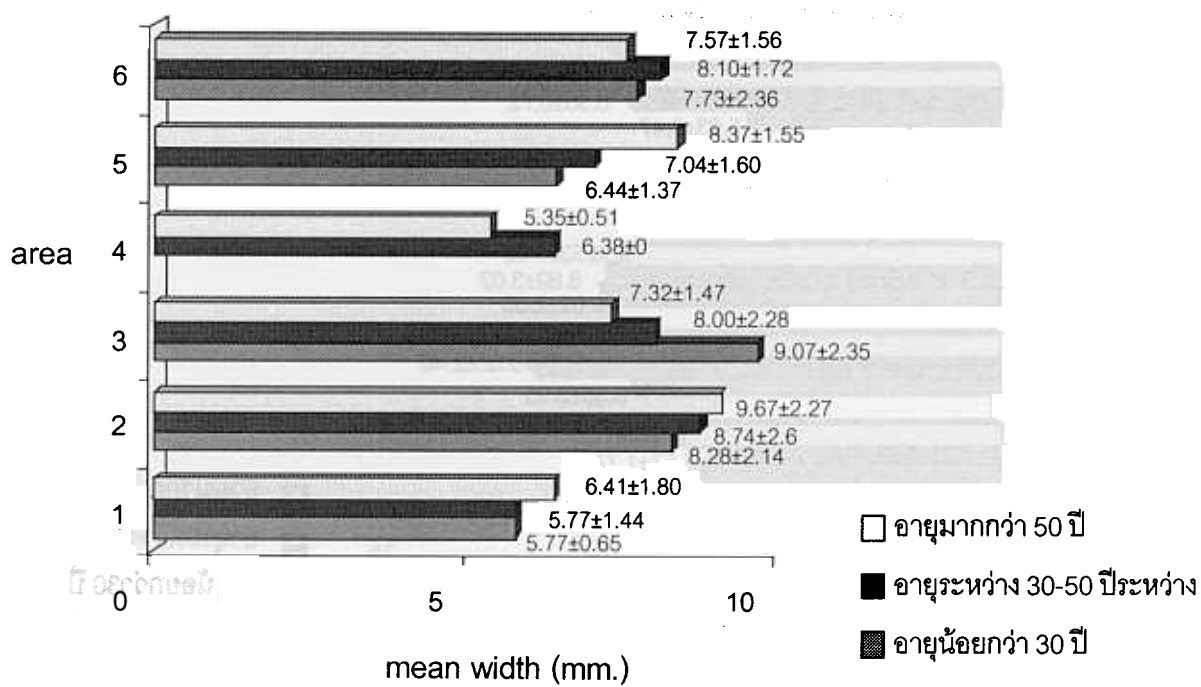
แผนภูมิที่ 2 แสดงความกว้างเฉลี่ยของสันกระดูกขากรรไกรว่างระหว่างช่วงอายุที่ระดับความสูงระดับ 3 มม.

Graph 2 Show average edentulous ridge width among age groups at 3 mm. height



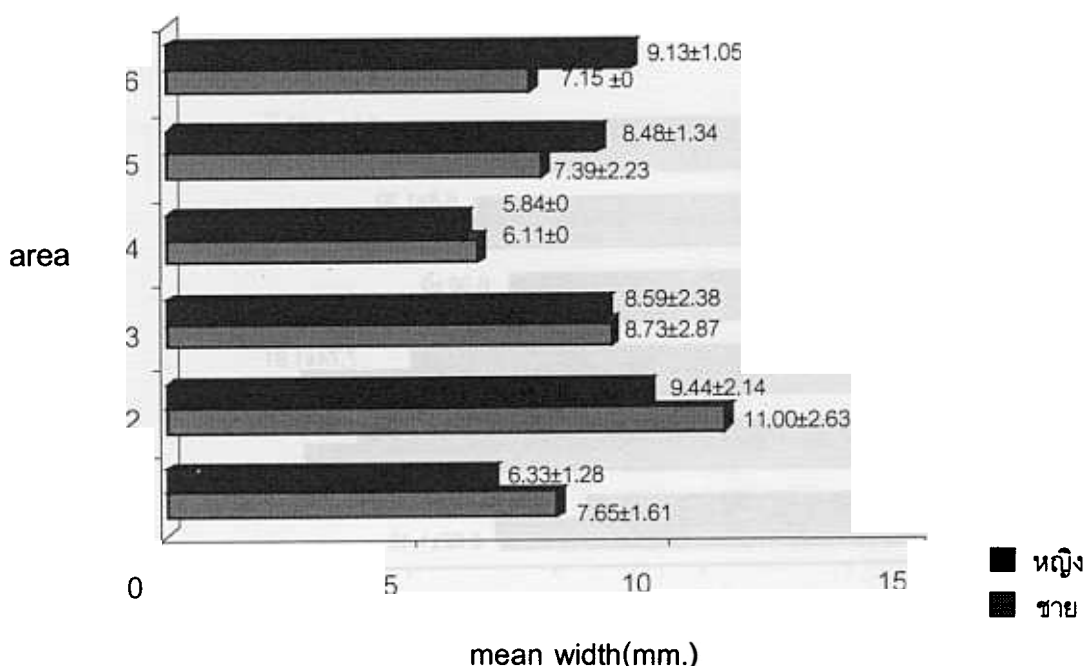
แผนภูมิที่ 3 แสดงค่าความกว้างเฉลี่ยของสันกระดูกขากรรไกรว่างที่ระดับความสูง 5 มม.

Graph 3 Show average edentulous ridge width at 5 mm. heighth



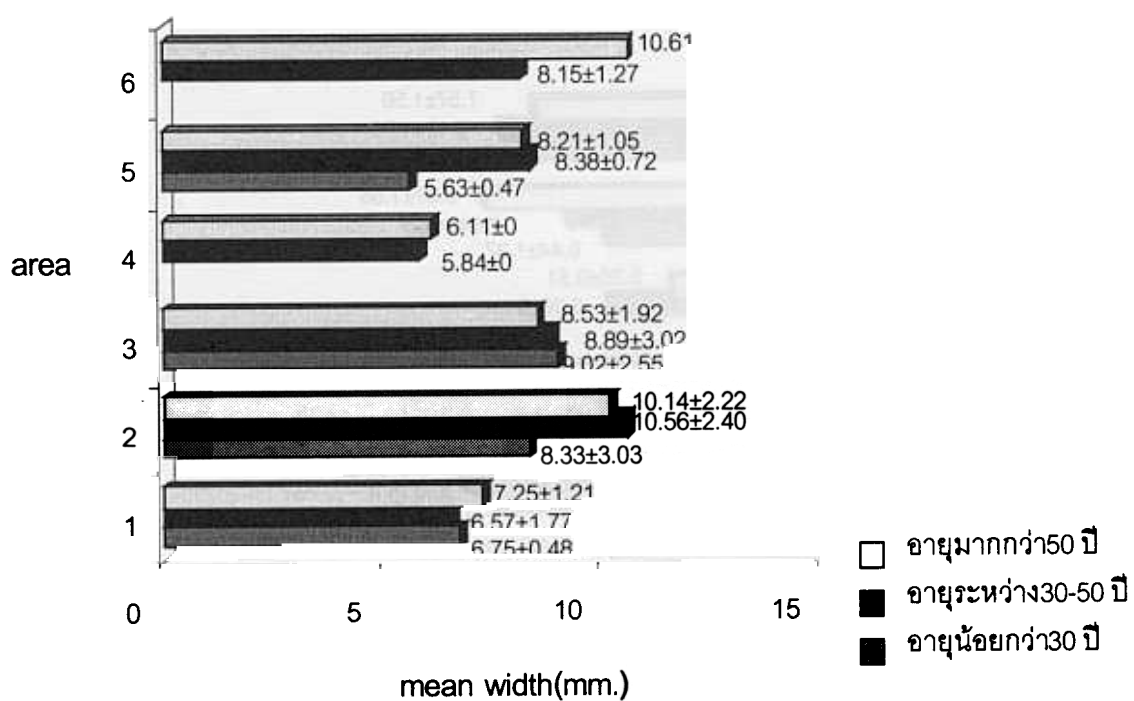
แผนภูมิที่ 4 แสดงค่าความกว้างเฉลี่ยของสันกระดูกขากรรไกรว่างระหว่างอายุต่าง ๆ ที่ระดับความสูง 5 มม.

Graph 4 Show average edentulous ridge width among age groups at 5 mm. heighth



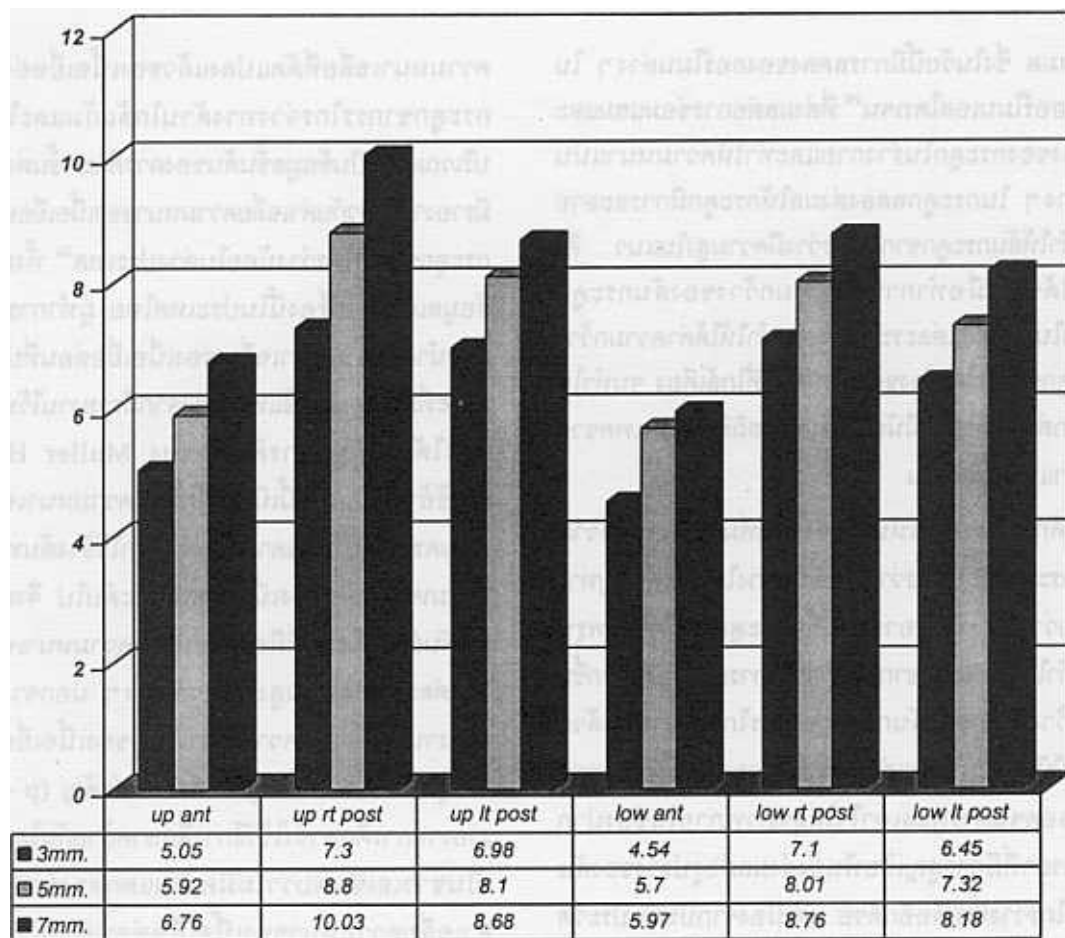
แผนภูมิที่ 5 แสดงค่าความกว้างเฉลี่ยของสันกระดูกขากรรไกรว่างที่ระดับความสูง 7 มม.

Graph 5 Show average edentulous ridge width at 7 mm. height



แผนภูมิที่ 6 แสดงความกว้างเฉลี่ยของสันกระดูกขากรรไกรว่างระหว่างอายุต่าง ๆ ที่ระดับความสูง 7 มม.

Graph 6 Show average edentulous ridge width among age groups at 7 mm. height



แผนภูมิที่ 7 แสดงความกว้างเฉลี่ยของสันกระดูกขากรรไกรว่างในแต่ละบริเวณที่มีความสูงจากยอดสันเหือกเป็นระยะทางต่าง ๆ
(หน่วย = มิลลิเมตร)

Graph 7 Show average edentulous ridge width in each area at various level from the top of the ridge (mm.).

วิจารณ์

ข้อมูลจากชิ้นหล่อวินิจฉัยที่นำมาทำการศึกษานั้นเป็นข้อมูลที่ได้มาจากกลุ่มประชากรที่มีตัวอย่างประชากรชายไกล เดียงกับประชากรหญิง และเป็นข้อมูลที่มีความสูงของสันเหือกถึงระดับ 7 มิลลิเมตรอยู่ในขากรรไกรบนถึง 86% ส่วนในขากรรไกรล่างมีเพียง 14% ทั้งนี้อาจเนื่องมาจากการละลายตัวของกระดูกขากรรไกรว่างในมิติแนวตั้งของขากรรไกรล่างมีมากกว่าขากรรไกรบน⁹ ส่วนช่วงอายุที่มีความสูงของสันเหือกถึง 7 มิลลิเมตร มากที่สุดคือช่วงอายุ 30 ถึง 50 ปี ทั้งนี้อาจเนื่องจากผู้ป่วยในช่วงอายุต่ำกว่า 30 ปีมีอยู่น้อยหรือไม่ค่อยมีการสูญเสียฟันมากนัก สำหรับบริเวณที่มีการสูญเสียฟันน้อยที่สุดได้แก่บริเวณฟันหน้าล่างทั้งในเพศชายและเพศหญิงส่วนบริเวณอื่นนอกเหนือจากนี้มีการสูญเสียของฟันในปริมาณเท่า ๆ กัน เมื่อวัดความสูงจากยอดสันเหือกมาทางปลายรากฟันพบว่าความกว้างเฉลี่ยของสันกระดูกขากรรไกรว่างในแต่ละบริเวณทั้งขากรรไกรบนและล่างมีค่าเพิ่มขึ้นทั้งนี้เนื่องจากลักษณะทาง

กายวิภาคเดิมของสันกระดูกขากรรไกรที่มีความกว้างเพิ่มขึ้น เมื่อมีระดับความสูงในแนวตั้งเพิ่มขึ้น และเกี่ยวเนื่องกับอัตราการละลายตัวในส่วนเยื่อบ้ำฟันที่มีมากกว่าในส่วนฐานทั้งในขากรรไกรบนและล่างอาจมีส่วนทำให้พบว่าความกว้างของสันกระดูกขากรรไกรว่างเพิ่มขึ้นในแนวตั้งอีกด้วย จากการศึกษาครั้งนี้พบว่าความกว้างของสันกระดูกขากรรไกรว่างในบริเวณฟันหลังทางด้านขามีขนาดกว้างกว่าด้านซ้ายทั้งในขากรรไกรบนและล่างแต่ไม่มีความแตกต่างอย่างมีนัยสำคัญ

ความกว้างเฉลี่ยของสันกระดูกขากรรไกรว่างในบริเวณเดียวกันของเพศชายมีค่ามากกว่าของเพศหญิง แต่อย่างไรก็ตามพบว่าไม่มีความแตกต่างอย่างมีนัยสำคัญ ทั้งนี้อาจเนื่องมาจากการเพศชายมีโครงสร้างของร่างกายที่ใหญ่โตกว่าเพศหญิงโดยทั่วไป และอาจเป็นเพราะกลุ่มตัวอย่างที่ทำการศึกษามีประชากรเพศหญิงในจำนวนใกล้เคียงกับเพศชาย เมื่อพิจารณาจากอายุแล้วคาดว่ากลุ่มประชากรเพศหญิงที่ทำการศึกษาอยู่ในช่วงวัยหมดประจำเดือนประมาณ 19.77% ของกลุ่มตัวอย่างประชากร

เพศหญิงทั้งหมด ซึ่งในวัยนี้มีการลดลงของฮอร์โมนต่าง ๆ ในร่างกาย เช่น ฮอร์โมนเอสโตรเจน²⁸ ที่ส่งผลต่อการซ่อมแซมและการเสริมสร้างของกระดูกในร่างกายและทำให้ความหนาแน่นของกระดูกต่าง ๆ ในกระดูกลดลงส่งผลให้กระดูกมีการละลายตัวเพิ่มขึ้น²⁹ ทำให้สันกระดูกขาดกรรไกรว่างมีความสูงในแนวตั้งลดลงตามไปด้วย เมื่อทำการวัดความกว้างของสันกระดูกขากรรไกรว่างในแนวตั้งแต่ละระดับจะทำให้ได้ค่าความกว้างเฉลี่ยสันกระดูกขากรรไกรว่างของเพศหญิงที่ใกล้เคียง จนทำให้ไม่มีความแตกต่างกันอย่างมีนัยสำคัญทางสถิติกับของเพศชายที่ระดับและตำแหน่งเดียวกัน

ผลการศึกษาแสดงให้เห็นว่าช่วงอายุที่มากขึ้นจะมีความกว้างของสันกระดูกขากรรไกรว่างมากขึ้นอย่างไม่มีนัยสำคัญทางสถิติ และพบว่า^{30,31} เมื่อมีอายุมากขึ้นกระดูกจะมีความพรุนเพิ่มขึ้น อาจทำให้สันกระดูกขากรรไกรว่างมีการละลายตัวมากขึ้น จึงวัดความกว้างเฉลี่ยของสันกระดูกขากรรไกรได้มากขึ้นด้วย นอกจากนี้ยังมีปัจจัยอื่น ๆ อีกเช่น การขาดสารอาหารโดยเฉพาะวิตามินดี ตลอดจนการดูแลเอาใจใส่สุขภาพภายในซ่องปาก รวมทั้งระยะเวลาที่มีการสูญเสียฟันยังส่งผลต่ออุปร่างของสันกระดูกขากรรไกรว่างที่เหลืออยู่ด้วย แต่เมื่อจากบันทึกประวัติของผู้ป่วยที่เป็นกลุ่มตัวอย่างนั้นไม่ได้มีบันทึกเกี่ยวกับประวัติการสูญเสียฟันมาโดยละเอียด จึงทำให้มีข้อมูลไม่เพียงพอต่อการวิเคราะห์ผลข้อมูล ณ ที่นี่

การศึกษาหาความกว้างของสันกระดูกขากรรไกรว่างนั้น อาจจะทำการเก็บข้อมูลในผู้ป่วยโดยตรงเพื่อให้ได้ความถูกต้อง และมีค่าใกล้เคียงความจริงมากที่สุด โดยวิธีที่นิยมเลือกปฏิบัติได้แก่ การทำ ridge mapping^{2,32-33} ซึ่งทำโดยใช้ยาชาเฉพาะที่แล้วนำเครื่องมือตรวจปริทันต์ที่มีความแหลมคมแทงผ่านเนื้อเยื่ออ่อนที่ปักคลุมสันกระดูกขากรรไกรว่างจนสามารถประมาณรูปร่างคร่าว ๆ ของกระดูกบนพื้นหลังอวินิจฉัยได้ นอกจากนี้ยังนิยมใช้การประเมินผลด้วยวิธีรังสีชนิดใหม่ในแกรม เพราะสามารถถ่ายภาพให้เห็นภาคตัดขวางของสันกระดูกขากรรไกรว่างได้ทำให้ประมาณรูปร่างของสันกระดูกขากรรไกรว่างได้เช่นกัน และยังสามารถแสดงโครงสร้างสำคัญต่าง ๆ ที่ต้องหลีกเลี่ยงเพื่อไม่ให้ทำอันตรายระหว่างการรักษา เช่น เส้นประสาท หรือโพรงอากาศต่าง ๆ ได้อีกเป็นต้น³⁴⁻³⁵ อย่างไรก็ตามการศึกษาครั้งนี้ต้องการใช้วิธีในการหาความกว้างของสันกระดูกขากรรไกรว่างจากชิ้นหล่ออวินิจฉัยของผู้ป่วยซึ่งทำได้ยากกว่าวิธีดังกล่าวข้างต้น และหักลบด้วยค่า

ความหนาเฉลี่ยที่ตัดแปลงแล้วของเนื้อเยื่ออ่อนที่ปักคลุมสันกระดูกขากรรไกรว่างทางด้านใกล้แก้มและใกล้ลิ้นในแต่ละบริเวณเพื่อเป็นข้อมูลขั้นต้นของการศึกษาขั้นต่อไป แต่เนื่องจากมีรายงานเกี่ยวกับค่าเฉลี่ยความหนาของเนื้อเยื่ออ่อนที่ปักคลุมสันกระดูกขากรรไกรว่างน้อยในต่างประเทศ³⁶ ทั้งยังไม่พบว่า มีข้อมูลเกี่ยวกับเรื่องนี้ในประเทศไทย ผู้ทำการศึกษาจึงจำเป็นต้องนำค่าความหนาเฉลี่ย ของเนื้อเยื่ออ่อนที่ปักคลุมกระดูกในภาวะที่มีพันอยู่มาใช้แทนเนื่องจากมีรายงานไว้พsomcar^{27,37-39} และได้เลือกผลการศึกษาของ Muller HP และคณะ²⁷ มาใช้อ้างอิงในครั้งนี้เนื่องจากมีค่าความหนาเฉลี่ยของเนื้อเยื่ออ่อนครบถ้วนบริเวณตามที่ได้จำแนกไว้ข้างต้นทว่ายังขาดข้อมูลความหนาเฉลี่ยของเนื้อเยื่อบางระดับไป จึงต้องอาศัยความสมัพนธ์ของข้อมูลที่มีอยู่เพื่อหาค่าความหนาเฉลี่ยของเนื้อเยื่อในแต่ละระดับความสูงที่บริเวณต่าง ๆ นอกจากนี้ Muller ยังรายงานว่าผู้ชายมีความหนาเฉลี่ยของเนื้อเยื่ออ่อนที่ปักคลุมกระดูกหนากว่าเพศหญิงอย่างมีนัยสำคัญ ($p < 0.01$) แต่จากการรายงานการศึกษาซึ่งใช้วิธีการศึกษาคล้ายกันโดยใช้กลุ่มตัวอย่างเป็นชาวເອເຊີຍพบว่าไม่มีความแตกต่างระหว่างเพศในเรื่องค่าเฉลี่ยความหนาของเนื้อเยื่ออ่อนดังกล่าว และยังพบว่าค่าความหนาเฉลี่ยของเนื้อเยื่ออ่อนที่ปักคลุมกระดูกในชาวເອເຊີຍนั้นอยกว่าของชาว寇ເຄເຕີຢັນເລື້ອນໜ້ອຍ⁴⁰⁻⁴¹ อย่างไม่มีนัยสำคัญ ดังนั้นค่าความกว้างเฉลี่ยของสันกระดูกขากรรไกรว่างที่ทำการหักค่าเฉลี่ยเนื้อเยื่ออ่อนออก แล้วจึงเป็นเพียงค่าประมาณ นอกจากนี้เมื่อพิจารณาค่าเบี้ยงเบนมาตรฐานในบางบริเวณนั้นมีค่าการกระจายของข้อมูลมากนั้นอาจเกิดจากเมื่อทำการจำแนกพื้นที่สูญเสียออกเป็นบางบริเวณตามช่วงอายุแต่ไม่จำแนกตามเพศแล้วทำให้มีความแตกต่างระหว่างความกว้างของสันเหลืออยู่ว่างในเพศชายและหญิงเกิดขึ้น ยกเว้นบริเวณพื้นหน้าล่างที่มีการกระจายตัวของข้อมูลน้อยทั้งนี้เนื่องจากว่ามีข้อมูลที่ทำการศึกษาในบริเวณนี้มีจำนวนน้อย

สรุป

จากการศึกษาพบว่าความกว้างของสันกระดูกขากรรไกรว่างในแต่ละบริเวณที่ระดับความสูงจากยอดสันเหลืออยู่เป็นระยะทางต่าง ๆ เป็นดังในตารางและแผนภูมิที่ 7 พบว่าสันกระดูกขากรรไกรว่างมีความกว้างเพิ่มขึ้นที่ระดับต่าง ๆ ในแต่ละบริเวณ

ส่วนปัจจัยทางด้านเพศและอายุไม่มีผลต่อความกว้างของสันกระดูกจากการไวร่วงในบริเวณเดียวกันอย่างมีนัยสำคัญทางสถิติเมื่อใช้ตัวสถิติทดสอบแบบ two-way ANOVA ที่ระดับความเชื่อมั่น 95% ในประชากรไทยกลุ่มนี้ ดังนั้นในการเลือกชี้พันปลอมหรือเลือกรากเทียมที่มีขนาดเหมาะสมสมกับขนาดของความกว้างสันกระดูกจากการไวร่วงที่เหลืออยู่อาจจำเป็นถึงปัจจัยทางด้านเพศและอายุเป็นเพียงองค์ประกอบหนึ่งในการตัดสินใจในการวางแผนการรักษาเท่านั้น ทว่าองค์ประกอบหนึ่งที่ควรนำมาพิจารณาคือ คุณภาพ ความกว้างและความสูงของสันกระดูกจากการไวร่วงที่เหลือมากกว่า อย่างไรก็ตามข้อมูลที่ได้จากการศึกษาครั้งนี้จะเป็นเพียงข้อมูลพื้นฐานสำหรับงานวิจัยในขั้นต่อไป ซึ่งควรมีการศึกษาเกี่ยวกับขนาดของสันกระดูกจากไวร่วงในเรื่องเดียวกันนี้เพิ่มเติมโดยตรงในกลุ่มประชากรไทย โดยอาจใช้กลุ่มตัวอย่างที่มากขึ้น และมีจำนวนตัวอย่างในเพศชายและเพศหญิงในช่วงอายุต่าง ๆ ที่ใกล้เคียงตลอดจนทำการศึกษาเกี่ยวกับความหนาของเนื้อเยื่ออ่อนที่ปักคลุมสันกระดูกจากการไวร่วงในกลุ่มประชากรไทย เพื่อที่จะได้เป็นข้อมูลพื้นฐานในการคุณนาโน้มของความกว้างของสันกระดูกจากการไวร่วงในกลุ่มประชากรไทยเมื่อเบรียบเทียบ กับของกลุ่มประชากรอื่น หรือเมื่อบรียบเทียบด้วยการศึกษาไวรีอีนทั้งยังช่วยประกอบการตัดสินใจในขั้นตอนวางแผนการรักษา หรือใช้ในการผลิตชี้พันปลอมหรือรากเทียมที่มีขนาดเหมาะสมสมกับประชากรไทยต่อไป

เอกสารอ้างอิง

- Klemetti E. A review of residual ridge resorption and bone density. *J Prosthet Dent* 1996;75:512-4.
- Wilson DJ. Ridge mapping for determination of alveolar ridge width. *Int J Oral Maxillofac implants* 1989;4: 3. Covani U, Cornelini R, Barone A. Bucco-lingual bone remodeling around implants placed into immediate extraction sockets: a case series. *J Periodontol* 2003; 74: 268-73.
4. Ow RK, Zarb GA, Schmitt A. Longitudinal peri-implant clinical responses in anterior mandibles of female patients: a preliminary report. *J Prosthet Dent* 1999; 81: 689-95.
5. Klemetti E. A review of residual ridge resorption and bone density. *J Prosthet Dent* 1996; 75: 512-4.
6. Atwood DA, Coy WA. Cephalometric and densitometric study of reduction of residual ridge. *J Prosthet Dent* 1971;26:280-95.
7. Atwood DA. Postextraction change in the adult mandibles as illustrated by microradiographs of midsagittal sections and serial cephalometric roentgenograms. *J Prosthet Dent* 1963;13:180-4.
8. Atwood DA. Reduction of residual ridge: A major control disease entity. *J Prosthet Dent* 1971;26:266-79.
9. Tallgren A. A continuing reduction of the residual ridges in complete denture wearers: A mixed longitudinal study covering 25 years. *J Prosthet Dent* 1972;27: 120-32.
10. Mercier P. Chapter 2 Resorption pattern of residual ridge. In: Kent NJ, Block M, editors. *Endosseous implants for maxillofacial reconstruction* 1st ed. Philadelphia WB Saunders Company, 1995:13-21.
11. Gordan GS, Genant HK: The aging skeleton, *Clin Geriatr Med* 1985;1:95-118.
12. Krolner B, Toft B. Vertical bone loss and unheaded side effect of therapeutic bedrest. *J Clin Sci* 1985;64: 537-40.
13. Bay RA, Maron G. Chapter 2 Pathophysiology and anatomy of edentulous bone loss. In: Raymond J Foncseca, W Howard Davis, editors. *Reconstructive preprosthetic oral and maxillofacial surgery* 2nd ed. Philadelphia. WB Saunders Company, 1995:23-30.
14. Kribbs PJ, Chesnut CH III, Ott SM, Kilcoyne RF. Relationships between mandibular and skeleton bone in an osteoporotic population. *J Prosthet Dent* 1989;62:73-7.
15. Von Wowern, Kollerup G. Symptomatic osteoporosis: A risk factor of residual ridge reduction of the jaw. *J Prosthet Dent* 1992;67:656-60.
16. Hausmann E. Potential pathway for bone resorption in human periodontal disease. *J Periodontal* 1974;45:338-43.
17. Hausmann E, Raisz LG, Miller WA. Endotoxin: stimulation of bone resorption in tissue culture. *Science* 1970;198:862-4.

18. Horton JE, Wezeman FH, Kuettner KE. Regulation of osteoclast activating factor-stimulated bone resorption in vitro with an inhibitor of collagenase. Special supplement to calcified tissue (abstract) 1978;127-49.
19. Chamber TJ. The pathobiology of osteoclast. J Clin Patchol 1985;38:241-52.
20. Offenbacher S, Odle BM, von Dyke TE. The use of crevicular fluid prostaglandin-E2 levels as predictor of dental attachment loss. J Periodontal Res 1986;21: 101-12.
21. Goldhaber P, Rabadjija L, Bayer WR, Kornhauser A. Bone resorption in tissue culture and its relevance to periodontal disease. J Am Dent Assoc 1973;87:1027-33.
22. Cawood JI, Howell RA: A classification of the edentulous jaw, Int J Oral Maxillofac Surg 1988;17:232-6.
23. Kent JN et al. Alveolar ridge augmentation using non-resorbable hydroxyapatite with or without autogenous cancellous bone. J Oral Maxillofac Surg 1983;41:629-42.
24. Enlow DH, Bianco HJ, Eklluna S. The remodeling of edentulous mandible. J Prosthet Dent 1976;34:685-93.
25. Slavicek R. Die Bedeutung der skeletalen diagnos fur die zahnlosen patienten: Schwerpunkte in der total prathik. Quintessenz 1986;27-48.
26. Jeffry Bemmett, Thomas D Taylor. The dental clinic of North America, Dental implant vol 42 No.1 1999:126-8.
27. Muller HP, Schaller N, Egar T, Heinecke A. Thickness of masticatory mucosa. J Clin Periodontol 2000;27: 431-36.
28. Gruber H, Solar P, Ulm C. Chapter 2 Maxillomandibular anatomy and pattern of resorption during atrophy. In: Mercier P, editors. Endosseous implants scientific and clinical aspect, 1st ed. Jurong town: Quintessence Publishing Co, Inc, 1996:40-1.
29. Von Wowern N, Stoltzek. Age differences in cortical width of mandibles determine by histoquantitation. Scand J Dent Res 1979;87:225-33.
30. Hirai T, Ishijima T, Hashikawa Y, Yajima T. Osteoporosis and reduction of residual ridge in edentulous patients. J Prosthet Dent 1993; 69: 49-56.
31. Ortman LE, Hausmann E, Dunford GR. Skeletal osteopenia and residual ridge resorption. J Prosthet Dent 1989;61:321-5.
32. Andre Schroeder et al, editors. Oral implantology. 2nd ed. New York: Theim Medical Publisher, Inc 1996: 237-8, 249-50.
33. Jeffry Bemmett, Thomas D Taylor: The dental clinic of North America, Dental implant vol 42 No.1 1999:41-2.
34. Norman AC, Michale K, Alan S. editors. Chapter 4 How to choose the proper implant. Atlas of Oral Implantology. 2nd ed. New York: Thiem Medical Publisher, Inc 1993:50-2.
35. Norman AC, Michale K, Alan S, editors. Chapter 4 How to choose the proper implant. Atlas of Oral Implantology. 2nd ed. New York: Thiem Medical Publisher, Inc 1993:20-3.
36. Carl E Misch, editors. Chapter 6 Diagnostic imaging and techniques. Implant Dentistry 2nd ed. Missouri: Mosby Inc, 2000:84-5.
37. Uchida H, Kobayashi K. Mesurment in vivo of masticatory mucosa thickness with 20MHz B-Mode ultrasonic diagnostic equipment. J Dent Res 1989;68(2): 95-100.
38. Muller HP, Schaller N, Eger T. Ultrasonic determination of thickness of masticatory mucosa. Oral Surg Oral Med Patho Oral Radio Endod 1999;88:248-53.
39. Willam L Kydd, Daly CH, Wheeler JB The thickness mesurement of masticatory mucosa in vivo. Int Dent J 1971; 21(4): 430-41.
40. Stephan P, Edward P, Terry CR, Kouba A. The thickness of masticatory mucosa in the human hard palate and tuberosity as potential donor site for ridge augmentation procedure. J Periodontal 1997; 68: 145-51.
41. Wara-aswapati N, Pitiphat W, Chandrapho N, Rattanayatikul C. Thickness of palatal masticatory mucosa associated with age. J Periodontol 2001; 72: 1407-12.

The average bucco-lingual width of the edentulous alveolar ridge in maxilla and mandible in a group of Thai population

Panuruj Arguilar¹

Wutthicha Cheangtawan¹

Orapin Kaewplung² D.D.S., Ph.D (Maxillofacial Prosthocontics)

Abstract

This study is to find the average bucco-lingual width of the edentulous alveolar ridge in maxilla and mandible and to find the relationship between the average width and age or sex in a group of Thai population. The study is done by using diagnostic casts from patients in the department of Prosthodontics, faculty of Dentistry, Chulalongkorn University among 1993-97. There are 113 pairs, and are 45 males, 68 females, with the average age of 42.98 years. By using Boyley sliding caliper measure from the highest point level of the alveolar crest in distance of 3, 5 and 7 mm. respectively to apical. Each position is measured twice by 2 operators one by one, and each position is measured 3 points ; the point that is supposed to be the center of the missing teeth and 2 mm. mesial and distal to that point. Then, find the average width and subtract with the average thickness of soft tissue that cover in each area which modified from the previous study report. The result showed that the average width of the edentulous alveolar ridge at the level of 3, 5 and 7 mm. in each area are as follows; upper anterior area are 5.05 ± 1.35 , 5.92 ± 1.45 and 6.76 ± 1.51 mm., upper right posterior area are 7.30 ± 2.27 , 8.80 ± 2.40 and 10.03 ± 2.42 mm., upper left posterior area are 6.98 ± 1.93 , 8.10 ± 2.24 and 8.68 ± 2.48 mm., lower anterior area are 4.54 ± 1.46 , 5.70 ± 0.70 and 5.97 ± 0.19 mm., lower right posterior area are 7.10 ± 1.87 , 8.01 ± 1.78 and 8.76 ± 1.61 mm. and lower left posterior 6.45 ± 1.66 , 7.32 ± 1.68 and 8.18 ± 1.77 mm. consequently. Data analysis by the two-way ANOVA indicate that there is no statistically significant difference($p<0.05$)of the average edentulous alveolar ridge width in each area between sex and age.

(CU Dent J 2004; 27: 69-85)

Key words: average bucco-lingual width; edentulous ridge; Thai population
